

การประชุมวิชาการเครือข่ายวิศวกรรมเครื่องกลแห่งประเทศไทยครั้งที่ 14  
2-3 พฤษภาคม 2543 โรงแรม โนโวเทล เชียงใหม่

## การอปทไมซ์รูปร่างเชิงสองมิติโดยใช้เส้นขอบเบซิเออร์และบี-สไเพลน์

### Two-Dimensional Shape Optimization Using Bezier and B-Spline Boundary

ไพบูลย์ ลิมปิติพานิชย์ และ อనุชา พรอมวงศ์

ภาควิชาวิศวกรรมเครื่องกล คณะวิศวกรรมศาสตร์ มหาวิทยาลัยเชียงใหม่

เชียงใหม่ 50200

โทร 053-944147, โทรสาร 053-944145, E-Mail : eninprmw@chiangmai.ac.th

Paiboon Limpitipanich and Anucha Promwungkwa

Department of Mechanical Engineering, Faculty of Engineering, Chiang Mai University

Chiang Mai 50200, Thailand

Tel : 6653-944147 Fax :6653-944145

#### บทคัดย่อ

การศึกษานี้มีวัตถุประสงค์เพื่ออปทไมซ์รูปร่างของโจทย์ปัญหาทางด้านแมคคานิกส์ในเชิงสองมิติโดยใช้เส้นขอบเบซิเออร์และบี-สไเพลน์แสดงของขึ้นงานออกแบบ พังก์ชันวัตถุประสงค์ของการอปทไมซ์เซชันเป็นการลดความเค้น von Mises มากสุดที่เกิดขึ้นภายในขั้นงาน โดยมีพิกัดจุดควบคุมของขอบโคล์เป็นตัวแปรออกแบบ การวิเคราะห์ความเค้นภายในขั้นงานใช้วิธีการวิเคราะห์ไฟโนต์อเลิเมนต์แบบ  $p$  เวอร์ชันโดยขอบของขั้นงานและขอบของอเลิเมนต์ใช้พังก์ชันชุดเดียวกัน การแก้ไขโจทย์ปัญหาการอปทไมซ์เซชันใช้ทฤษฎีลำดับโปรแกรมเชิงเส้นและวิธีซิมเพล็กซ์ โดยกระบวนการของการอปทไมซ์จะทำการปรับแต่งของโครงสร้างของขั้นงานเพื่อลดความเค้นหนาแน่นสูงสุดที่เกิดขึ้นในขั้นงาน การศึกษาได้ทดสอบการอปทไมซ์เซชันรูปร่างของโครงสร้างของขั้นงานด้วยอย่างสองด้านอย่างผลลัพธ์ที่ได้พบว่า ลักษณะของโครงสร้างของขั้นงานด้วยสามารถลดความเค้น von Mises ภายในขั้นงานได้ และมีค่าความเค้นด้านสูงที่กระจายสม่ำเสมอ โดยการลดลงของความเค้นหนาแน่นจะขึ้นอยู่กับรูปร่างของโจทย์ปัญหาเริ่มต้น นอกจากนี้พบว่าการวิเคราะห์ขั้นงานด้วยอันดับ  $p$  ที่สูงขึ้นจะให้รูปร่างอปทมัมที่มีค่าความเค้น von Mises ต่ำข้าសุดต่ำที่สุดมากสุด

#### Abstract

The objective of this study is to optimize shape of a two-dimensional elastic mechanic problem having a bezier and b-spline boundary. An objective function of the optimization problem is the minimization of maximum von Mises stress occurred inside the problem. Coordinates of a bezier and b-spline curve are used as design variables.  $P$ -version finite element analysis is used to analysis stresses, which solid and element boundaries are the same curve. Optimization solution is the combination of sequential linear programming and simplex method. Two examples are demonstrated to show the reduction of a maximum stress. The results shown that high value stresses are distributed uniformly over the designed region and maximum von Mises stress is reduced while the final shape is optimized. The reduction of stress concentration depends on the initial shape of the problem. A higher order element results the convergence of stress to the final value.

#### 1. บทนำ

การอปทไมซ์เซชัน (Optimization) รูปร่างโดยใช้วิธีการวิเคราะห์ไฟโนต์อเลิเมนต์แบบ  $p$  เวอร์ชันเริ่มต้นโดย

Shyy และคณะ [8] ได้ศึกษาการออพทีไมซ์เชชันชิ้นงานโดยใช้เส้นขอบเบซิเออร์และบี-สไพลน์ (Bezier and b-spline boundary) ร่วมกับวิธีการวิเคราะห์ไฟฟ์ไฟแนนต์เอลิเมนต์แบบ  $\rho$  เวอร์ชันนี้พบว่าสามารถให้ผลลัพธ์ที่มีความแม่นยำสูง โดย Zienkiewicz และ Taylor [5] ได้รายงานข้อดีของวิธีการวิเคราะห์ไฟฟ์ไฟแนนต์เอลิเมนต์แบบ  $\rho$  เวอร์ชัน นั้นคือ ในการเพิ่มฟังก์ชันสัณฐาน (Shape function) ของแต่ละเอลิเมนต์ สามารถเพิ่มฟังก์ชันสัณฐานที่มีอันดับสูงเข้าไปยังฟังก์ชันสัณฐานเดิมที่มีอันดับต่ำกว่า โดยการคำนวนฟังก์ชันสัณฐาน กะรทำเฉพาะเมตริกซ์ความแข็งแกร่ง (Stiffness matrix) ที่สัมพันธ์กับฟังก์ชันสัณฐานใหม่ที่เพิ่มเข้าไป ซึ่งวิธีการนี้จะเร็วกว่าการคำนวนฟังก์ชันสัณฐานใหม่ทั้งหมดที่ใช้ในวิธีการวิเคราะห์ไฟฟ์ไฟแนนต์เอลิเมนต์แบบ  $\rho$  เวอร์ชัน นอกจากนี้ Promwungkwa [1] สร้างโปรแกรม  $\rho$ -FEM ซึ่งเป็นโปรแกรมไฟฟ์ไฟแนนต์เอลิเมนต์ที่ใช้วิธีการวิเคราะห์ไฟฟ์ไฟแนนต์เอลิเมนต์แบบ  $\rho$  เวอร์ชันโดยใช้การปรับแต่งด้วยอันดับ  $\rho$  ที่ไม่สม่ำเสมอในแต่ละเอลิเมนต์ที่ต้องการฟังก์ชันสัณฐานที่มีอันดับสูง โปรแกรม  $\rho$ -FEM ดังกล่าวได้นำมาพัฒนาใช้กับการวิเคราะห์การออพทีไมซ์เชชันรูปร่างในการศึกษานี้

การออพทีไมซ์เชชันรูปร่างด้วยวิธีการวิเคราะห์ทางไฟฟ์ไฟแนนต์เอลิเมนต์ได้มีการพัฒนามาอย่างต่อเนื่องและพบว่าการใช้เส้นขอบเบซิเออร์และเส้นขอบบี-สไпалน์ร่วมกับวิธีการวิเคราะห์ไฟฟ์ไฟแนนต์เอลิเมนต์แบบ  $\rho$  เวอร์ชันจะให้ความแม่นยำในการคำนวนสูงโดยมีฟังก์ชันวัตถุประஸ์เป็นน้ำหนักน้อยที่สุดและตัวอย่างเป็นการวิเคราะห์รูปร่างอย่างง่าย [2] การศึกษานี้มุ่งเน้นเพื่อแสดงการใช้เส้นขอบข้างต้นในการออพทีไมซ์เชชันรูปร่างของโจทย์ปัญหาทางด้านแมคคาโนส์ในสองมิติพร้อมกับแสดงตัวอย่างของโจทย์ปัญหาในทางปฏิบัติได้แก่ การออพทีไมซ์เชชันบนโครงของรูบันผ่านกรวยเจาะรูบัน แรงดึงด้านข้างในแนวแกนและการออพทีไมซ์เชชันบนโครงของแผ่นรับแรงดึงที่มีความกว้างหน้าตัดต่างกันโดยมีฟังก์ชันวัตถุประஸ์เป็นความเค้นน้อยที่สุด การวิเคราะห์ความไว (Sensitivity analysis) ใช้วิธีผลต่างสืบเนื่อง (Finite difference) เพื่อประมาณค่าการตอบสนองของค่าความเค้นที่เกิดขึ้นภายในชิ้นงานเมื่อเปลี่ยนค่าของตัวแปรออกแบบ (Design variable) การแก้ไขโจทย์ปัญหาการออพทีไมซ์เชชันเลือกใช้วิธีการลำดับโปรแกรมเชิงเส้น (Sequential linear programming method) และวิธีซิมเพล็กซ์ (Simplex method)

## 2. การกำหนดครูปร่างชิ้นงานและตัวแปรออกแบบ

ในวิธีการวิเคราะห์ไฟฟ์ไฟแนนต์เอลิเมนต์แบบ  $\rho$  เวอร์ชันฟังก์ชันที่แสดงเส้นขอบของชิ้นงานและขอบของเอลิเมนต์จะใช้ฟังก์ชันชุดเดียวกัน ซึ่งในการศึกษานี้เลือกเส้นขอบสองชนิดแสดงขอบโครงของชิ้นงาน ได้แก่ เส้นขอบเบซิเออร์และเส้นขอบบี-สไпалน์ และใช้พิกัดจุดควบคุมของเส้นขอบทั้งสองเป็นตัวแปรออกแบบ

### 2.1 เส้นขอบเบซิเออร์

เส้นขอบเบซิเออร์สร้างจากกลุ่มของจุดควบคุมโดยเส้นโครงลากผ่านเฉพาะจุดควบคุมแรกและจุดควบคุมสุดท้ายเท่านั้น รูปแบบสมการของเส้นขอบเบซิเออร์แสดงดังนี้ [4]

$$P(t) = \sum_{k=0}^n p_k BEZ_{k,n}(t), 0 \leq t \leq 1 \quad (1)$$

$$\text{โดย } BEZ_{k,n}(t) = C(n, k) t^k t^{n-k} \quad (2)$$

$$C(n, k) = \frac{n!}{k!(n-k)!} \quad (3)$$

โดยที่  $n$  คือกำลังของโพลีโนเมียล  $k$  คือลำดับของจุดควบคุม  $p_k$  คือพิกัดของจุดควบคุมจำนวน  $n+1$  จุดโดย  $p_k = (x_k, y_k)$   $BEZ_{k,n}(t)$  คือฟังก์ชันผสมของเบซิเออร์ และ  $C(n, k)$  คือสัมประสิทธิ์ทวินาม

### 2.2 เส้นขอบบี-สไпалน์

เส้นขอบบี-สไпалน์สร้างจากกลุ่มของจุดควบคุมเช่นเดียวกับเส้นขอบเบซิเออร์แต่มีข้อดีกว่าคือกำลังของโพลีโนเมียลของเส้นขอบสามารถกำหนดได้โดยไม่ขึ้นกับจำนวนของจุดควบคุม รูปแบบสมการของเส้นขอบบี-สไпалน์แสดงดังนี้ [4]

$$P(t) = \sum_{k=0}^n p_k B_{k,d}(t), 0 \leq t \leq t_{\max} \quad (4)$$

$$\text{โดย } B_{k,d}(t) = \begin{cases} 1 & \text{if } d = 1, t_k \leq t < t_{k+1}, \\ 0 & \text{if } d = 1, t < t_k \text{ or } t \geq t_{k+1}, \\ \frac{t - t_k}{t_{k+d-1} - t_k} B_{k,d-1}(t) & \\ + \frac{t_{k+d} - t}{t_{k+d} - t_{k+1}} B_{k+1,d-1}(t), & \text{if } d > 1 \end{cases} \quad (5)$$

โดยที่  $d$  คือกำลังของโพลีโนเมียล  $k$  คือลำดับของจุดควบคุม  $p_k$  คือพิกัดของจุดควบคุมจำนวน  $n+1$  จุดโดย  $p_k = (x_k, y_k)$   $B_{k,d}(t)$  คือฟังก์ชันผลรวมของบี-สไเพลน์  $t_k$  คือพารามิเตอร์ แสดงลักษณะของเส้นขอบเรียกว่าเวคเตอร์โนทái ได้แก่  $\{t_0, t_1, t_2, \dots, t_{n+d}\}$  การคำนวณค่าภายในเวคเตอร์โนทái คำนวนดังนี้ [4]

$$t_j = \begin{cases} 0 & \text{if } 0 \leq j < d, \\ j-d+1 & \text{if } d \leq j \leq n, \\ n-d+2 & \text{if } j > n \end{cases} \quad (6)$$

โดย  $j = 0, 1, 2, \dots, n+d$

ในการศึกษาได้เลือกใช้เส้นขอบบี-สไเพลน์ที่มีกำลังของโพลีโนเมียลเท่ากับที่ใช้กับเส้นขอบบีเซอร์ จากการที่ใช้กำลังของโพลีโนเมียลที่เท่ากันนี้ทำให้เส้นขอบห้องสองชนิดมีรูปร่างเส้นขอบที่เหมือนกัน ดังนั้นการแสดงผลจะแสดงข้อมูลเพียงชุดเดียวเท่านั้น

### 3. วิธีการวิเคราะห์ไฟในตัวอิเล็กทรอนิกส์แบบ $\rho$ เวอร์ชัน

วิธีการวิเคราะห์ไฟในตัวอิเล็กทรอนิกส์เป็นวิธีการวิเคราะห์คำตอบของโจทย์ปัญหาด้วยวิธีการประมาณ ซึ่งกระทำโดยการแบ่งชิ้นงานวิเคราะห์ออกเป็นอิเล็กทรอนิกส์ขนาดเล็กๆ และวิเคราะห์ห้าสนาการขอจัดของจุดต่อในแต่ละอิเล็กทรอนิกส์จากฟังก์ชันการประมาณภายใน ซึ่งสามารถขอจัดอย่างง่ายสำหรับฟังก์ชันการประมาณภายในเชิงเส้นคือ [5]

$$\{d\} = \sum_{i=1}^n N_i \{d_i\} = [N_i] \{d_i\} \quad (7)$$

โดยที่  $i$  คือหมายเลขของจุดต่อที่มุ่งอิเล็กทรอนิกส์  $[N_i]$  คือฟังก์ชันสัณฐานเชิงเส้น  $\{d_i\}$  คือเวคเตอร์ของการขอจัดที่จุดต่อ และ  $n$  คือจำนวนของจุดต่อห้องหมด เมื่อพิจารณาสมการ (7) ร่วมกับคุณสมบัติของวัสดุและหลักการของงานสมมิនจะได้สมการสมดุลย์ไฟในตัวอิเล็กทรอนิกส์คือ [6]

$$[k_{ii}] \{d_i\} = \{f_i\} \quad (8)$$

โดยที่  $[k_{ii}]$  คือเมตริกซ์ความแข็งแกร่งของอิเล็กทรอนิกส์และ  $\{f_i\}$  คือเวคเตอร์ของแรงที่อิเล็กทรอนิกส์

สำหรับวิธีการวิเคราะห์ไฟในตัวอิเล็กทรอนิกส์แบบ  $\rho$  เวอร์ชัน เป็นการวิเคราะห์ชิ้นงานด้วยอิเล็กทรอนิกส์ที่มีอันดับสูงขึ้นโดยใช้ฟังก์ชันการประมาณภายในแบบไม่เชิงเส้นและฟังก์ชันสัณฐานที่ใช้สร้างจากโพลีโนเมียลของเลอจองด์ (Legendre polynomial) ซึ่งวิธีการนี้กระทำได้โดยการเพิ่มฟังก์ชันสัณฐานที่มีอันดับสูงกว่าฟังก์ชันสัณฐานเดิมเข้าไปในฟังก์ชันการประมาณภายในเดิม ซึ่งสามารถขอจัดและสมการสมดุลย์ไฟในตัวอิเล็กทรอนิกส์สำหรับวิธีการวิเคราะห์ไฟในตัวอิเล็กทรอนิกส์แบบ  $\rho$  เวอร์ชันคือ [7]

$$\{u\} = \sum_{i=1}^n N_i \{d_i\} + \sum_{j=1}^s N_{h,j} \{d_{h,j}\} = [N_i] \{d_i\} + [N_h] \{d_h\} \quad (9)$$

$$\begin{bmatrix} k_{ii} & k_{ih} \\ k_{ih}^T & k_{hh} \end{bmatrix} \begin{bmatrix} d_i \\ d_h \end{bmatrix} = \begin{bmatrix} f_i \\ f_h \end{bmatrix} \quad (10)$$

โดยที่  $[N_h]$  คือฟังก์ชันสัณฐานห้องหมดที่เพิ่มเข้าไป  $\{d_h\}$  คือเวคเตอร์การขอจัดแบบ  $\rho$   $s$  คือจำนวนของฟังก์ชันสัณฐานห้องหมดที่เพิ่มเข้าไป และ  $[k_{ii}]$ ,  $[k_{hh}]$  และ  $\{f_h\}$  คือเมตริกซ์ความแข็งแกร่งของอิเล็กทรอนิกส์และเวคเตอร์ของแรงที่อิเล็กทรอนิกส์ที่สัมพันธ์กับฟังก์ชันสัณฐานที่เพิ่มเข้าไปตามลำดับ

### 4. การวิเคราะห์ความไว

การวิเคราะห์ความไวเป็นการหาการตอบสนองของคำตอบที่ต้องการเมื่อทำการเปลี่ยนค่าตัวแปรออกแบบ โดยในการศึกษานี้คำตอบที่ต้องการคือค่าความเดินที่ตำแหน่งต่างๆ ภายในชิ้นงาน การวิเคราะห์ความไวกระทำได้โดยการทำอนุพันธ์ของสมการสมดุลย์ไฟในตัวอิเล็กทรอนิกส์ของระบบรวมเทียบกับตัวแปรออกแบบ ดังนั้นจากสมการ (10) เมื่อเขียนใหม่จะได้

$$[K] \{D\} = \{F\} \quad (11)$$

เมื่อหาอนุพันธ์ของสมการ (11) เทียบกับตัวแปรออกแบบ  $x_i$  และจัดรูปสมการใหม่จะได้

$$[K] \left\{ \frac{\partial D}{\partial x_i} \right\} = \left( \left\{ \frac{\partial R}{\partial x_i} \right\} - \left[ \frac{\partial K}{\partial x_i} \right] \{D\} \right) \quad (12)$$

จากสมการ (12) พบรากурсหาค่าอนุพันธ์ของสนาการขอจัดกระทำได้โดยการแก้ระบบสมการเชิงเส้นด้วยเวคเตอร์

ของแรงตัวใหม่นั้นที่อพจน์ข้ามเมื่อของสมการ (12) และเรียกว่า เวคเตอร์ของแรงนี้ว่า pseudo-loads [8] ซึ่งมีค่าดังนี้

$$\{g_i\} = \left( \left\{ \frac{\partial R}{\partial x_i} \right\} - \left[ \frac{\partial K}{\partial x_i} \right] \{D\} \right) \quad (13)$$

การหาอนุพันธ์ของเวคเตอร์ของแรงและอนุพันธ์ของ เมตริกซ์ความแข็งแกร่งเทียบกับตัวแปรออกแบบในสมการ (13) กระทำโดยการประมาณค่าด้วยวิธีผลต่างสิบเนื่องดังนี้

$$\left\{ \frac{\partial R}{\partial x_i} \right\} = \frac{\{R(x_i + dx_i)\} - \{R(x_i)\}}{dx_i} \quad (14)$$

$$\left[ \frac{\partial K}{\partial x_i} \right] = \frac{[K(x_i + dx_i)] - [K(x_i)]}{dx_i} \quad (15)$$

ในการคำนวณเดียวกัน การหาอนุพันธ์ของความเดินที่ ตำแหน่งต่างๆ ภายในชิ้นงานเทียบกับตัวแปรออกแบบ สามารถคำนวณได้โดยใช้วิธีผลต่างสิบเนื่องดังนี้

$$\frac{\partial \sigma}{\partial x_i} = \frac{\sigma(x_i + dx_i) - \sigma(x_i)}{dx_i} \quad (16)$$

โดยที่  $\sigma(x_i + dx_i)$  คือค่าความเดินเมื่อเปลี่ยนค่าตัวแปรออกแบบซึ่งคำนวณได้จาก  $\{D(x_i + dx_i)\}$  โดยที่  $\{D(x_i + dx_i)\}$  คือ สนามของการขัดของรูปทรงชิ้นงานเมื่อเปลี่ยนค่าตัวแปร ออกแบบและมีความสัมพันธ์ดังนี้

$$\{D(x_i + dx_i)\} = \{D(x_i)\} + \left\{ \frac{\partial D}{\partial x_i} \right\} dx_i \quad (17)$$

เมื่อ  $\left\{ \frac{\partial D}{\partial x_i} \right\}$  เป็นค่าตอบของสมการ (12) นั้นคือ

$$\left\{ \frac{\partial D}{\partial x_i} \right\} = [K]^{-1} \{g_i\} \quad (18)$$

โดยที่  $[K]^{-1}$  เป็นอินเวอร์สของเมตริกซ์  $[K]$  ที่ได้จากการแก้ สมการ (12) และจะไม่คำนวณใหม่เมื่อคำนวณสมการ (18)

## 5. การแก้สมการหาผลลัพธ์

การศึกษานี้เลือกใช้การแก้สมการหาผลลัพธ์ด้วยวิธีการ สำาดับโปรแกรมเชิงเส้นและวิธีขัมเพล็กซ์ ซึ่งวิธีการสำาดับ โปรแกรมเชิงเส้นเป็นการปรับเปลี่ยนรูปแบบของโจทย์ปัญหา ด้วยการประมาณค่าจากอนุกรมของเกรลลอร์และตัดพอนท์ที่มี กำลังสองขั้นไปอีก พังก์ชันวัตถุประสงค์และเงื่อนไขคอนสเตรนท์ตามวิธีการสำาดับโปรแกรมเชิงเส้นมีรูปแบบดังนี้ [9]

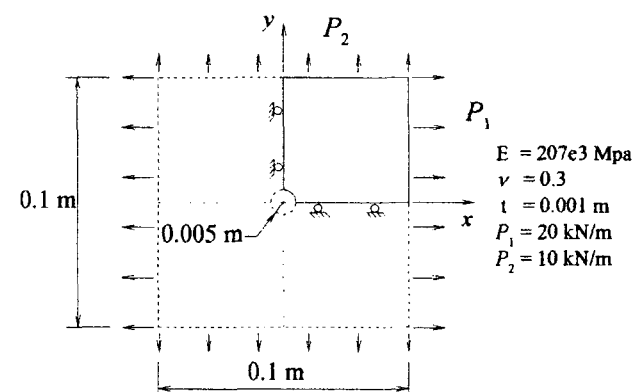
$$F(\{x\}^{k+1}) = F(\{x\}^k) + \{\nabla F(\{x\}^k)\}^T \{\Delta x\} \quad (19)$$

$$g_j(\{x\}^{k+1}) = g_j(\{x\}^k) + \{\nabla g_j(\{x\}^k)\}^T \{\Delta x\} \quad (20)$$

โดยที่  $\{\nabla F(\{x\}^k)\}$  และ  $\{\nabla g_j(\{x\}^k)\}$  คือเวคเตอร์เกรเดียน ของพังก์ชันวัตถุประสงค์และเงื่อนไขคอนสเตรนท์เมื่อเทียบ กับตัวแปรออกแบบ  $j$  คือสำาดับของเงื่อนไขคอนสเตรนท์และ  $k$  คือสำาดับของรอบการคำนวณ

## 6. ตัวอย่างการวิเคราะห์ชิ้นงาน

### 6.1 การอพกที่ไมซ์เซชันขอบโค้งของรูปทรงแผ่นกว้าง เจาะรูรับแรงดึงด้านข้างในแนวแกน



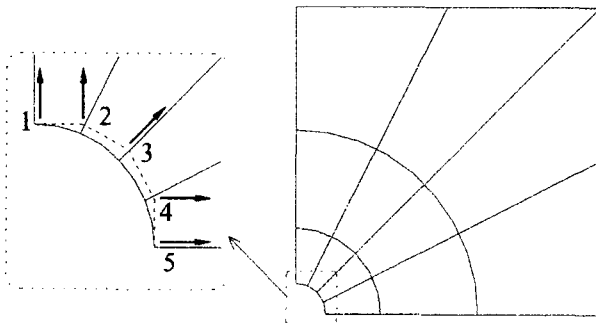
รูปที่ 1 แผ่นกว้างเจาะรูรับแรงดึงด้านข้างในแนวแกน

การอพกที่ไมซ์เซชันชิ้นงานแรกเป็นการอพกแบบรูปร่าง ขอบโค้งของรูที่เจาะบนแผ่นกว้างที่รับแรงดึงด้านข้างในแนว แกนดังแสดงในรูปที่ 1 การอพกที่ไมซ์เซชันนี้มีวัตถุประสงค์ เพื่อลดค่าความเดิน von Mises มากสุดที่เกิดขึ้นในชิ้นงาน และใช้ค่าความเดิน von Mises บนขอบโค้งของรูกำหนด เงื่อนไขคอนสเตรนท์ รูปแบบสมการของพังก์ชันวัตถุประสงค์ และเงื่อนไขคอนสเตรนท์ตามสมการ (19) และ (20) คือ

$$F = (\sigma_{VM})_{\max} + \{\nabla(\sigma_{VM})_{\max}\}^T \{\Delta x\} \rightarrow \min \quad (21)$$

$$g_j = (\sigma_{VM})_j + \{\nabla(\sigma_{VM})\}_j^T \{\Delta x\} \geq \sigma_{lower} \quad (22)$$

โดยที่  $\nabla(\sigma_{VM})$  คือเวกเตอร์เกรเดียนของความเค้น von Mises  $j$  คือตำแหน่งพิจารณาความเค้นบนขอบโถงรู และ  $\sigma_{lower}$  คือขอบเขตความเค้นน้อยสุดเพื่อจำกัดขนาดของรู



รูปที่ 2 รูปแบบเอลิเมนต์และตัวแปรออกแบบ

ในการวิเคราะห์ชิ้นงานนั้น เนื่องจากชิ้นงานมีลักษณะสมมาตร ดังนั้นในการวิเคราะห์จะเลือกวิเคราะห์เพียงหนึ่งในส่วนของชิ้นงานและแบ่งชิ้นงานออกเป็น 12 เอลิเมนต์โดยที่ขอบโถงของชิ้นงานแสดงด้วยเส้นขอบเบซิเออร์และบี-สไฟล์นจากจุดควบคุมจำนวน 5 จุดและใช้การเคลื่อนที่ของจุดควบคุมเหล่านี้เป็นตัวแปรออกแบบดังแสดงในรูปที่ 2 โดยตัวแปรออกแบบที่ใช้ถูกกำหนดเพื่อรักษาค่าความชันของเส้นขอบบริเวณขอบสมมาตร ดังนั้นตัวแปรออกแบบที่ใช้จึงมี 3 ตัวแปร ได้แก่ การเคลื่อนที่ของจุดควบคุม 1-2, 3 และ 4-5 ตามลำดับ สำหรับวิธีการวิเคราะห์ไฟฟ้าในตัวเอลิเมนต์เลือกใช้การออพทิไมซ์เซ็นด้วยอันดับ  $p$  ดังแต่สิ่งแปด ทั้งนี้เนื่องจากส่วนโถงเบซิเออร์และบี-สไฟล์นที่ใช้แสดงเส้นขอบมีอันดับของโพลีโนเมียลกำลังสี่ โดยหลังจากออพทิไมซ์ในแต่อันดับ  $p$  จะนำรูปร่างสุดท้ายมาทำการวิเคราะห์ใหม่ด้วยอันดับ  $p$  เท่ากับแปดเพื่อให้ได้ค่าความเค้น von Mises ของรูปร่างสุดท้ายมีความแม่นยำมากที่สุด

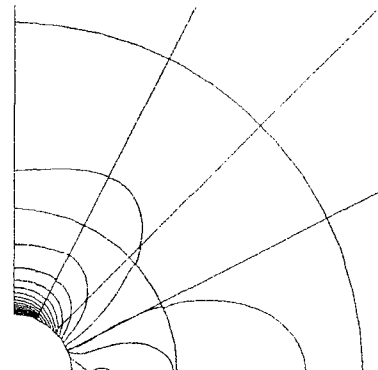
ค่าความเค้น von Mises ของรูปร่างออพทิมัทที่อันดับ  $p$  เท่ากับสิ่งแปดแสดงดังตารางที่ 1 ภาพแสดงเส้นระดับความเค้นของชิ้นงานก่อนการวิเคราะห์และหลังการวิเคราะห์ที่อันดับ  $p$  เท่ากับสี่แสดงดังรูปที่ 3 ซึ่งจะเห็นว่าการกระจายของค่าความเค้น von Mises มีค่าส่วนมากขึ้นและมีค่าลดลงมากกว่า 30 เบอร์เซ็นต์โดยความเค้นหนาแน่นลดลง

จาก 2.64 เหลือ 1.74 หรือลดลง 33.8 เปอร์เซ็นต์สำหรับการวิเคราะห์ที่  $p$  เท่ากับสี่ นอกจากนี้ยังพบว่าค่าความเค้น von Mises ของรูปร่างออพทิมัมมีค่าใกล้เคียงกันที่อันดับ  $p$  เท่ากับสิ่งแปดทั้งนี้เพราะว่าวิเคราะห์ค่าความเค้นภายในชิ้นงานของแต่ละอันดับ  $p$  มีความถูกต้องเหมือนกัน

ตารางที่ 1 การออพทิไมซ์เซ็นรูปร่างที่อันดับ  $p = 4$  ถึง 8

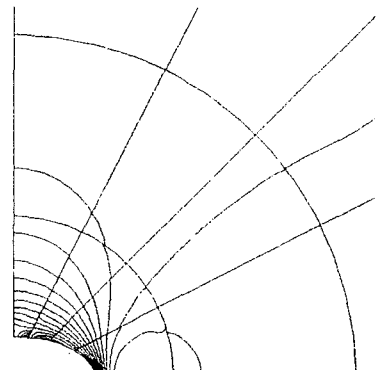
อันดับ $p$	รอบการ คำนวน (รอบ)	ความเค้น von Mises (MPa)		ความเค้น von Mises ที่ $p = 8$ (MPa)
		ก่อนการ วิเคราะห์	ที่จุด ออพทิมัม	
4	3	52.7	31.3	34.9
5	3	53.1	33.2	35.4
6	3	53.3	34.5	35.6
7	3	53.0	35.4	35.8
8	3	53.1	36.6	-

Stress values:  
5.31149e+07  
4.85313e+07  
4.39478e+07  
3.93642e+07  
3.47807e+07  
3.01971e+07  
2.56136e+07  
2.103e+07  
1.64485e+07  
1.18629e+07



(g) ก่อนการวิเคราะห์

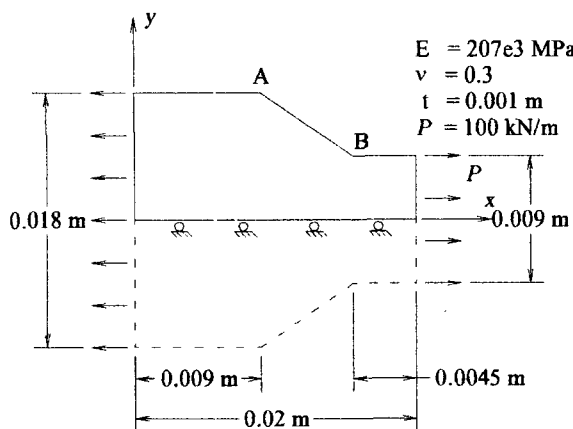
Stress values:  
3.48719e+07  
3.28115e+07  
3.07512e+07  
2.86909e+07  
2.66306e+07  
2.45702e+07  
2.25099e+07  
2.04496e+07  
1.83893e+07  
1.6329e+07



(h) หลังการวิเคราะห์

รูปที่ 3 เส้นระดับความเค้นก่อนและหลังการวิเคราะห์ที่  $p=4$

## 6.2 การอพทิไมซ์เซชันของโครงสร้างแผ่นรับแรงดึงที่มีความกว้างหน้าตัดต่างกัน



รูปที่ 4 แผ่นรับแรงดึงที่มีความกว้างหน้าตัดต่างกัน

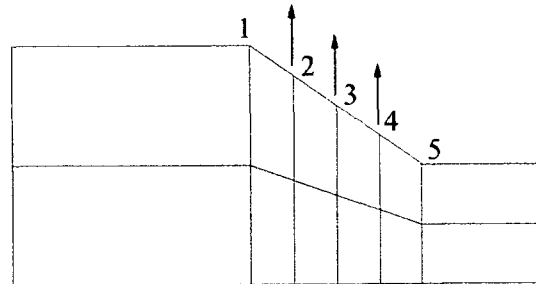
การอพทิไมซ์เซชันชิ้นงานด้วยย่างที่สองเป็นการอกรูปรูปร่างของโถง AB ของแผ่นรับแรงดึงที่มีความกว้างหน้าตัดต่างกันดังแสดงในรูปที่ 4 โดยการอพทิไมซ์เซชันมีวัตถุประสงค์เช่นเดียวกับตัวอย่างแรกและใช้ค่าความเค้น von Mises บนขอบโถงกำหนดเงื่อนไขคอนสเตรนท์และเพื่อกำหนดให้ความเค้นบนขอบโถงไม่มากกว่าความเค้นที่เกิดขึ้นมากสุดดังนั้นจึงกำหนดให้ความเค้นที่ดำเนินต่อไป บนขอบโถงมีค่าอย่างกว่าค่าความเค้น von Mises มากสุด รูปแบบสมการของพิงก์ชันวัตถุประสงค์และเงื่อนไขคอนสเตรนท์ตามสมการ (19) และ (20) คือ

$$F = (\sigma_{VIM})_{\max} + \{\nabla(\sigma_{VIM})_{\max}\}^T \{\Delta x\} \rightarrow \min \quad (23)$$

$$g_j = (\sigma_{VIM})_j + \{\nabla(\sigma_{VIM})\}_j^T \{\Delta x\} \leq (\sigma_{VIM})_{\max} \quad (24)$$

ในการวิเคราะห์ชิ้นงานจะเลือกวิเคราะห์เพียงครึ่งหนึ่งของชิ้นงานและแบ่งชิ้นงานออกเป็น 12 เอลิเมนต์โดยที่ขอนโถงของชิ้นงานแสดงด้วยเส้นขอบเบซิเออร์และบี-สไพล์นจากจุดควบคุมจำนวน 5 จุดและใช้การเคลื่อนที่ของจุดควบคุมเหล่านี้เป็นตัวแปรออกแบบดังแสดงในรูปที่ 5 โดยกำหนดให้จุดควบคุมจุดแรกและจุดสุดท้ายไม่มีการเคลื่อนที่ ดังนั้นตัวประกอบแบบที่ใช้มี 3 ตัวแปร ได้แก่ การเคลื่อนที่ของจุดควบคุม 2, 3 และ 4 ตามลำดับ สำหรับวิธีการวิเคราะห์ไฟโนต์เอลิเมนต์เลือกใช้การอพทิไมซ์ด้วยอันดับ  $p$  ตั้งแต่สี่เหลี่ยมแบนและหลังจากการอพทิไมซ์ในแต่ละอันดับ  $p$  จะนำรูปร่างสุด

ท้ายมาทำการวิเคราะห์ใหม่ด้วยอันดับ  $p$  เท่ากับแปดเช่นเดียวกับตัวอย่างแรก

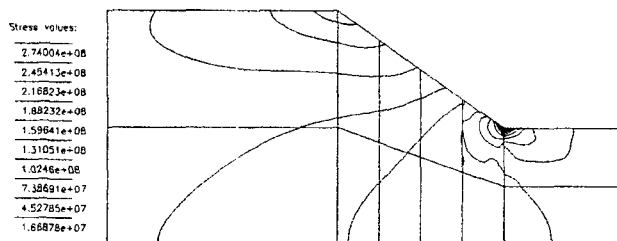


รูปที่ 5 รูปแบบเอลิเมนต์และตัวแปรออกแบบ

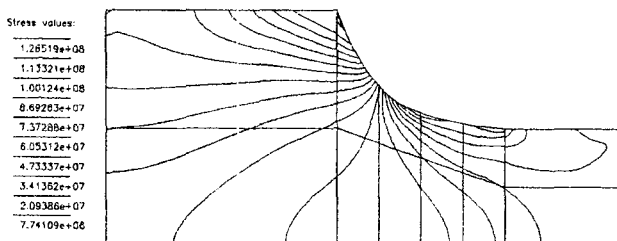
ค่าความเค้น von Mises ของรูปร่างอพทิมัมที่อันดับ  $p$  เท่ากับสี่เหลี่ยมแบนแสดงดังตารางที่ 2 พบว่าวิเคราะห์โดยใช้อันดับ  $p$  เท่ากับหกถึงแปดจะให้รูปร่างที่ให้ความเค้น von Mises ต่ำที่สุดโดยค่าความเค้นหนาแน่นลดลงจาก 2.74 เหลือ 1.27 หรือลดลง 53.8 เปอร์เซ็นต์สำหรับวิเคราะห์ที่อันดับ  $p$  เท่ากับแปด ภาพแสดงเส้นระดับความเค้นของชิ้นงานก่อนการวิเคราะห์และหลังการวิเคราะห์ที่อันดับ  $p$  เท่ากับแปดแสดงดังรูปที่ 6 ซึ่งพบว่าการกระจายของความเค้นก่อนการวิเคราะห์จะหนาแน่นบริเวณจุดทั้กของขอบที่มุ่งล่างดังรูปที่ 6(ก) ซึ่งหลังจากการวิเคราะห์พบว่าการการกระจายความเค้นมีค่าสัมภาระมากขึ้นดังแสดงในรูปที่ 6(ข) และการลดลงของค่าความเค้นที่อันดับ  $p$  เท่ากับสี่เหลี่ยมแบนพบว่าอันดับของ  $p$  ที่ใช้วิเคราะห์ชิ้นงานมีผลต่อความเค้นสูงสุดของรูปร่างอพทิมัม นั่นคือที่การวิเคราะห์ที่อันดับ  $p$  สูงขึ้นจะให้รูปร่างอพทิมัมที่มีค่าความเค้น von Mises ต่ำลง

ตารางที่ 2 การอพทิไมซ์เซชันรูปร่างที่อันดับ  $p = 4$  ถึง 8

อันดับ $p$	รอบการคำนวณ (รอบ)	ความเค้น von Mises (MPa)		ความเค้น von Mises ที่ $p = 8$ (MPa)
		ก่อนการวิเคราะห์	ที่จุดอพทิมัม	
4	6	192.4	135.8	137.4
5	6	214.9	135.4	135.4
6	6	236.3	127.9	127.7
7	5	255.8	127.1	126.6
8	5	274.0	126.5	-



(ก) ก่อนการวิเคราะห์



(ข) หลังการวิเคราะห์

รูปที่ 6 เส้นระดับความเค้นก่อนและหลังการวิเคราะห์ที่  $p=8$ 

## 7. สรุป

การศึกษาได้ทำการทดสอบการออพทีไมซ์เซชันรูปร่างโดยใช้เส้นขอบเขตเชอร์และบี-สไเพลน์แสดงขอบโค้งของชิ้นงานร่วมกับวิธีการวิเคราะห์ไฟในตัวเลือนต์แบบ  $p$  เวอร์ชันโดยมีวัตถุประสงค์ของการออพทีไมซ์เซชันรูปร่างคือ การลดความเค้น von Mises มากสุดที่เกิดขึ้นภายในชิ้นงานและเมื่อเงื่อนไขคอนสเตรన์ต์ค่าความเค้นบนขอบโค้งที่ทำการออกแบบ การศึกษาได้ทดสอบการออพทีไมซ์เซชันกับตัวอย่างการวิเคราะห์ชิ้นงานจำนวนสองตัวอย่าง ได้แก่ การออพทีไมซ์เซชันขอบโค้งของรูของแผ่นกว้างเจาะรูรับแรงดึงด้านข้างในแนวแกนและการออพทีไมซ์เซชันขอบโค้งของแผ่นรับแรงดึงที่มีความกว้างหนาตัดต่างกัน ผลลัพธ์พบว่าลักษณะของชิ้นงานตัวอย่างทั้งสองสามารถลดค่าความเค้น von Mises ภายใต้ชิ้นงานได้และมีค่าความเค้นด้านสูงที่กระจายสม่ำเสมอ โดยการลดลงของความเค้นหนาแน่นขึ้นอยู่กับรูปร่างของโจทย์ปัญหาเริ่มนิดเดียวตัวอย่างแรกซึ่งพบว่าความหนาแน่นลดลงเพียง 33.8 เปอร์เซ็นต์ สำหรับตัวอย่างสองความเค้นหนาแน่นลดลงมากถึง 53.8 เปอร์เซ็นต์ ทั้งนี้เนื่องจากชิ้นงานวิเคราะห์เริ่มต้นมีจุดหักมุมซึ่งค่าความเค้นหนาแน่นที่ตำแหน่งหักมุมจะมีค่าสูง นอกจากนี้ยังพบว่าอันดับ  $p$  ที่ใช้วิเคราะห์ค่าความเค้นภายใต้ชิ้นงานมีผลต่อรูปร่างออพทีมัม นั่นคือ การวิเคราะห์ด้วยอันดับ  $p$  สูงขึ้นจะให้รูปร่างที่มีค่าความเค้น von Mises ลู่เข้าสู่ค่าตอบมากขึ้น

## กิตติกรรมประกาศ

ผู้แต่งคนแรกขอขอบคุณทบทวนมหาวิทยาลัยที่ให้ทุนการศึกษาตามโครงการส่งเสริมผู้มีความสามารถพิเศษเป็นอาจารย์ในสถานศึกษาของรัฐ โดยมีมหาวิทยาลัยบูรพาเป็นต้นสังกัด

## เอกสารอ้างอิง

- [1] A. Promwungkwa, "Data Structure and Error Estimation for an Adaptive  $p$ -Version Finite Element Method in 2-D and 3-D Solids", Ph. D. Dissertation, Virginia Polytechnic Institute and State University, 1998.
- [2] R.R. Salagame and A.D. Belegundu, A Simple  $p$ -Adaptive Refinement Procedure for Structural Shape Optimization", Finite Element in Analysis and Design, Vol. 24, 1997, pp.133-155.
- [3] S.G. Nash and A. Sofer, 'Linear and Nonlinear Programming", McGraw-Hill Book Company, Singapore, 1996.
- [4] D. Hearn and M.P. Baker, "Computer Graphics", Englewood Cliffs, N.J., Prentice-Hall, Inc., 1994.
- [5] O.C. Zienkiewicz and R.L. Taylor, "The Finite Element Method, Fourth Edition, Vol. 1 Basic Formulation and Linear Problems", McGraw-Hill Book Company Europe, 1994.
- [6] C.E. Knight, "The Finite Element Method in Mechanical Design", PWS-KENT Publishing Company, Boston, 1993.
- [7] B. Szabó and I. Babuška, "Finite Element Analysis" John Wiley & Sons, Inc., New York, 1991.
- [8] Y.K. Shyy, C. Fleury and K. Izadpanah, "Shape Optimal Design using High-order Elements", Computer Methods in Applied Mechanics and Engineering, Vol. 71, 1988, pp.99-116.
- [9] D. Yunliang, "Shape Optimization of Structures, A literature survey", Computers & Structures, Vol. 24, 1986, pp.985-1004.
- [10] O.C. Zienkiewicz and J.S. Campbell, "Optimization Structural Design", John Wiley & Sons, Inc., New York, 1973.